

# 质量分析

# 驴皮特征肽的发现及其在阿胶鉴别中的应用\*

石峰<sup>1</sup>, 杭宝建<sup>1</sup>, 迟连利<sup>2</sup>, 李雪<sup>2</sup>, 徐丽华<sup>1</sup>, 魏峰<sup>3</sup>, 程显隆<sup>3</sup>, 巩丽萍<sup>1\*\*</sup>, 马双成<sup>3\*\*</sup> (1. 山东省食品药品检验研究院, 济南 250101; 2. 山东大学, 济南 250100; 3. 中国食品药品检定研究院, 北京 100050)

摘要 目的: 建立阿胶中驴皮源成分的鉴别方法。方法: 通过序列比对发现理论的驴皮特征肽,并利用纳升液相色谱 – 高分辨质谱进行确证阿胶特征肽 GPTGEPGKPGDK。利用胰蛋白酶对阿胶样品进行酶解,利用超高效液相色谱 – 三重四极杆质谱 (UPLC-QQQ MS) 对阿胶的专属性特征肽段进行检测。色谱柱为 ACQUITY UPLC BEH  $C_{18}$  (2.1 mm×150 mm, 1.7  $\mu$ m),流动相为 0.1% 甲酸溶液 (A) – 乙腈 (B),梯度洗脱 (0~3 min, 96%A; 3~8 min, 96%A  $\rightarrow$  92%A; 8~10 min, 92%A  $\rightarrow$  50%A; 10~12 min, 50%A; 12~12.1 min, 50%A  $\rightarrow$  96%A; 12.1~15 min, 96%A),流速 0.3 mL·min<sup>-1</sup>,柱温 40  $^{\circ}$ C,进样量 5  $\mu$ L; 离子化模式为 ESI+,进行多反应监测,选择阿胶特征分子离子峰 m/z 380.71  $\rightarrow$  374.82, m/z 380.71  $\rightarrow$  493.56 作为检测离子对。结果: 10 批阿胶样品均检出驴皮特征肽。结论: 所建立的方法专属性强,可用于阿胶中驴皮源成分的鉴别。关键词: 阿胶鉴别; 驴皮特征多肽; 胶原蛋白; 胶类药材

中图分类号: R 917 文献标识码: A 文章编号: 0254-1793(2017)12-2272-07

doi: 10.16155/j.0254-1793.2017.12.23

# Discovery of marker peptide of donkey for identification of donkey-hide gelatin\*

SHI Feng<sup>1</sup>, HANG Bao-jian<sup>1</sup>, CHI Lian-li<sup>2</sup>, LI Xue<sup>2</sup>, XU Li-hua<sup>1</sup>, WEI Feng<sup>3</sup>, CHEN Xian-long<sup>3</sup>, GONG Li-ping<sup>1\*\*</sup>, MA Shuang-cheng<sup>3\*\*</sup>

(1. Shandong Institute of Food and Drug Control, Jinan 250101, China; 2. Shandong University, Jinan 250100, China; 3. National Institutes for Food and Drug Control, Beijing 100050, China)

**Abstract Objective:** To develop a method for identification of donkey-hide gelatin. **Methods:** Species-specific peptide GPTGEPGKPGDK of donkey skin was predicted by sequence comparison and was verified by NanoLC coupled with Orbitrap mass spectrometry. Samples were digested by trypsin. Ultra-high performance liquid chromatography (UPLC) coupled with triple quadruple mass spectrometry (QQQ MS) was used to detect the specific marker peptides in donkey-hide gelatins. Determination was carried out on an ACQUITY UPLC BEH

第一作者 Tel: 13953175123; E-mail: 13953175123@139.com

第一

<sup>\*</sup> 国家重大新药创制中药安全检测技术及标准平台(No.2014ZX09304307)——中药质量安全检测和风险控制技术平台(No.2014ZX0930437-002)

<sup>\*\*</sup> 通信作者 巩丽萍 Tel:(0531)81216561; E-mail: gongliping\_lp@163.com 马双成 Tel:(010)67095424; E-mail:mase@nicpbp.org.cn



 $C_{18}(2.1 \text{ mm} \times 150 \text{ mm}, 1.7 \text{ }\mu\text{m})$  column at temperature of 40 °C. The mobile phase was composed of 0.1% formic acid (A) and acetonitrile (B) with gradient elution (0–3 min, 96%A; 3–8 min, 96%A  $\rightarrow$  92%A; 8–10 min, 92%A  $\rightarrow$  50%A; 10–12 min, 50%A; 12–12. 1 min, 50%A  $\rightarrow$  96%A; 12. 1–15 min, 96%A) at a flow rate of 0. 3 mL·min<sup>-1</sup>. The electrospray ionization (ESI) source was performed in multiple reaction monitoring (MRM) mode with the transitions of m/z 380. 71  $\rightarrow$  374. 82 and 493. 56. **Results:** The sequence of marker peptide was GPTGEPGKPGDK. The marker peptide could be detected in all samples by this method. **Conclusion:** The established method is specific, which is suitable for the identification of donkey–hide gelatin.

Keywords: identification of donkey-hide gelatin; marker peptide; collagen; gelatin medicine

阿胶由驴皮熬制而成<sup>[1]</sup>,具有补血滋阴、润燥、止血的功效<sup>[2-4]</sup>。随着阿胶药材需求不断上升,以及生产原料驴皮供应量的限制,阿胶价格昂贵,阿胶药材的掺伪造假问题日趋严重,存在使用其他劣质皮类替代驴皮熬制阿胶的违法问题。马皮、牛皮、猪皮、羊皮供应量大,价格便宜,是阿胶掺伪中用到的可能性较大的皮源<sup>[5-6]</sup>。

阿胶的主要成分是驴皮胶原蛋白高温不完全水 解后的肽段[7]。不同物种的蛋白序列存在差异,胰 蛋白酶可识别多肽链中的赖氨酸和精氨酸切割多肽 链,如果赖氨酸和精氨酸的后一个氨基酸是脯氨酸, 胰蛋白酶不切割此位点[8]。不同物种的蛋白序列经 胰蛋白酶酶切后可能形成物种特异性的多肽,蛋白酶 酶切技术和质谱多肽识别技术已经被广泛应用于动 物胶原蛋白的鉴别[9-12]。利用质谱和主成分分析的 方法发现了牛皮胶原蛋白特征肽,建立了胶类药材中 牛皮源成分的专属性检测方法[13-16],有效地打击了 阿胶中掺入牛皮源成分的违法行为;还发现了相对 于牛皮胶、猪皮胶、龟甲胶、鹿角胶具有特异性的驴皮 源成分特征肽[17-19],建立了阿胶、龟甲胶、鹿角胶中 驴皮源成分的检测方法,广泛地应用于胶类药材的检 测。本研究针对利用马皮、猪皮、牛皮、羊皮冒充驴皮 熬制阿胶的造假行为,通过比对驴、马、猪、牛、羊胶原 蛋白的序列,模拟胰蛋白酶酶切的结果,获得了一条 理论的相对于马、猪、牛、羊具有特异性的驴胶原蛋 白特征性多肽,通过合成驴皮特征肽,在纳升液相色 谱-高分辨质谱上得到了进一步确证,并进一步采用 超高效液相色谱 - 三重四极杆质谱联用仪建立了阿 胶中驴皮源成分的专属性鉴别方法,并进行了方法学 验证。

# 1 仪器与材料

1.1 仪器 EASY-nLC 1000 纳升液相色谱仪(美

国热电科技公司),Fusion-Orbitrap 高分辨质谱仪(美国热电科技公司);自制纳升液相色谱富集色谱柱( $0.2~mm \times 3.5~cm$ ;填料:十八烷基硅烷键合硅胶,孔球形硅胶粒径  $5~\mu m$ ,德国迈克公司),自制纳升液相色谱分析色谱柱( $75~\mu m \times 25~cm$ ;填料:十八烷基硅烷键合硅胶,孔球形硅胶粒径  $3~\mu m$ ,德国迈克公司)。Waters Acquity 超高效液相色谱仪、Waters Quattro Premier XE 三重四极杆质谱仪(沃特世科技公司);Waters ACQUITY UPLC BEH  $C_{18}$  色谱柱( $2.1~mm \times 150~mm$ , $1.7~\mu m$ ;填料:十八烷基硅烷键合硅胶,桥式亚乙基杂化颗粒(沃特世科技公司)。KQ200DB 超声清洗仪(中国昆山超声仪器有限公司)。XSE205 电子天平(赛多利斯科学仪器有限公司)。

- 1.2 试剂 碳酸钠、碳酸氢铵为分析纯;甲酸、乙腈为色谱纯;水为 Milli-Q 纯水;胰蛋白酶购自 Sigma 公司,货号 T1426-100 mg。 驴皮特征 肽 GPTGEPGKPGDK由上海强耀生物科技有限公司合成,纯度为 98%。
- 1.3 胶类样品 阿胶对照药材购自中国食品药品检定研究院,编号为 121274-201202; 自制阿胶(6份)、自制猪皮胶(3份)、自制马皮胶(3份)、自制牛皮胶(3份)、自制羊皮胶(3份)、由以下制备工艺获得: 取鲜皮 10 g,去毛,水浸泡 4 d,每天换水 2次,1% 碳酸钠水溶液浸泡 1 d,水洗净,加水 90 mL,115 ℃熬制8 h 获得胶液,胶液滤过,滤液浓缩成稠膏,100 ℃真空干燥箱干燥 4 h 获得胶。

阿胶样品由生产厂家提供,具体信息见表 1。

## 2 方法与结果

2.1 理论的驴皮胶原蛋白特征肽的发现 阿胶中的主要成分为驴皮胶原蛋白水解后的多肽。皮类胶原蛋白主要由 I 型胶原蛋白组成,占 80%~85%, I 型胶原蛋白又包括 I 型 α1、α2亚型。通过对驴与马、



牛、猪、羊的 I 型  $\alpha$  1、 $\alpha$  2 胶原蛋白序列进行 blast 多序列比对,发现不同物种胶原蛋白 COL I  $\alpha$  2 之间存在差异(图 1);通过模拟胰蛋白酶酶切驴胶原蛋白获得一条理论的驴相对于马、牛、猪、羊的胶原蛋白特征肽,序列为 GPTGEPGKPGDK,对应驴皮胶原蛋白 COL I  $\alpha$  2 的第 497–508 个氨基酸。

表 1 阿胶样品信息

**Tab. 1** Information of sample

		P
序号 (No.)	生产厂家 ( manufacturer )	生产批号 ( lot No. )
(110.)	( manuacturer )	(101110.)
1	A	1508045
2	A	1508046
3	A	1508039
4	В	160304
5	В	160303
6	С	15070222
7	D	150309
8	E	150039
9	F	201409002
10	G	20150307

酶切位点(cleavage site)

 宇(donkey)
 RGEPGNIGFPGPKGPTGEPGKPGDKGHAGLAGARG

 马(horse)
 RGEPGNIGFPGPKGPSGEPGKPGDKGHAGLAGARG

 牛(cattle)
 RGEPGNIGFPGPKGPSGDPGKAGEKGHAGLAGARG

 羊(sheep)
 RGEPGNIGFPGPKGPTGDPGKAGEKGHAGLAGARG

 猪(pig)
 RGEPGNIGFPGPKGPTGDPGKNGEKGHAGLAGARG

#### 图 1 胶原蛋白 COL I α2 序列比对

Fig. 1 Sequence alignment of collagen  $I \alpha 2$ 

2.2 供试品溶液的制备 精密称定胶类药材 0.10 g,置 50 mL 量瓶中,加 1% 碳酸氢铵溶液 40 mL,超声 (100 W,40 kHz)处理 30 min,使样品完全溶解并加 1%碳酸氢铵溶液定容至刻度,过 0.22 μm 的滤膜,取 100 μL 续滤液至 200 μL 微量进样瓶中,加 2 μL 胰蛋白酶溶液 (取序列分析纯胰蛋白酶适量,加 1%碳酸氢铵溶液溶解,制成每 1 μL 中含 20 μg 的溶液),摇匀,37 ℃恒温酶解 16 h,即得。

2.3 纳升液相色谱和 Fusion-Orbitrap 高分辨质谱条件 采用 EASY-nLC 1000 纳升液相色谱系统分离。流动相 A 为 2% 乙腈的 0.1% 甲酸水溶液,流动相 B 为含 98% 乙腈的 0.1% 甲酸水溶液,洗脱梯度设置见表 2,进样量为 1 μL。首先采用自制纳升液相色谱

富集色谱柱进行富集,并串联自制纳升液相色谱分离 色谱柱进行分析。

#### 表 2 纳升液相色谱梯度洗脱程序

Tab. 2 Gradient elution program of nano liquid chromatography

时间 流速(flow rate)/ (time)/min (mL·min <sup>-1</sup> )	流动相(mobile phase)	
	A/%	B/%
300	100	0
300	93	7
300	78	22
300	65	35
300	10	90
450	10	90
450	10	90
	(mL·min <sup>-1</sup> )  300  300  300  300  300  300  450	(mL·min <sup>-1</sup> )     A/%       300     100       300     93       300     78       300     65       300     10       450     10

采用 Fusion-Orbitrap 高分辨质谱仪,离子源为 Nanospray Flex 纳喷源。以正离子模式进行分析,喷雾电压为 2.1~kV,离子传输毛细管温度为 275~C, S-Lens 传输效率设置为 60%。一级质谱采用 Orbitrap 作为质量分析器,分辨率为 60~000(m/z~400),采集范围为 350~1~650~Th;二级质谱采用离子阱作为质量分析器,采用 Rapid Scan 模式进行扫描,利用 Top 20~数据依赖模式进行母离子选择,采用 CID 模式进行碎裂,碎裂能量 NCE 设置为 35%。

**2.4** 超高效液相色谱和三重四极杆质谱条件 采用超高效液相系统,色谱柱为 ACQUITY UPLC® BEH  $C_{18}(2.1 \text{ mm} \times 100 \text{ mm}, 1.7 \text{ } \mu\text{m})$ ,流速  $0.3 \text{ mL} \cdot \text{min}^{-1}$ ,流动相 A 为 0.1% 甲酸溶液, B 为 0.1% 甲酸乙腈,进行梯度洗脱,洗脱程序见表 3,进样量 5  $\mu$ L。

表 3 超高效液相色谱梯度洗脱程序

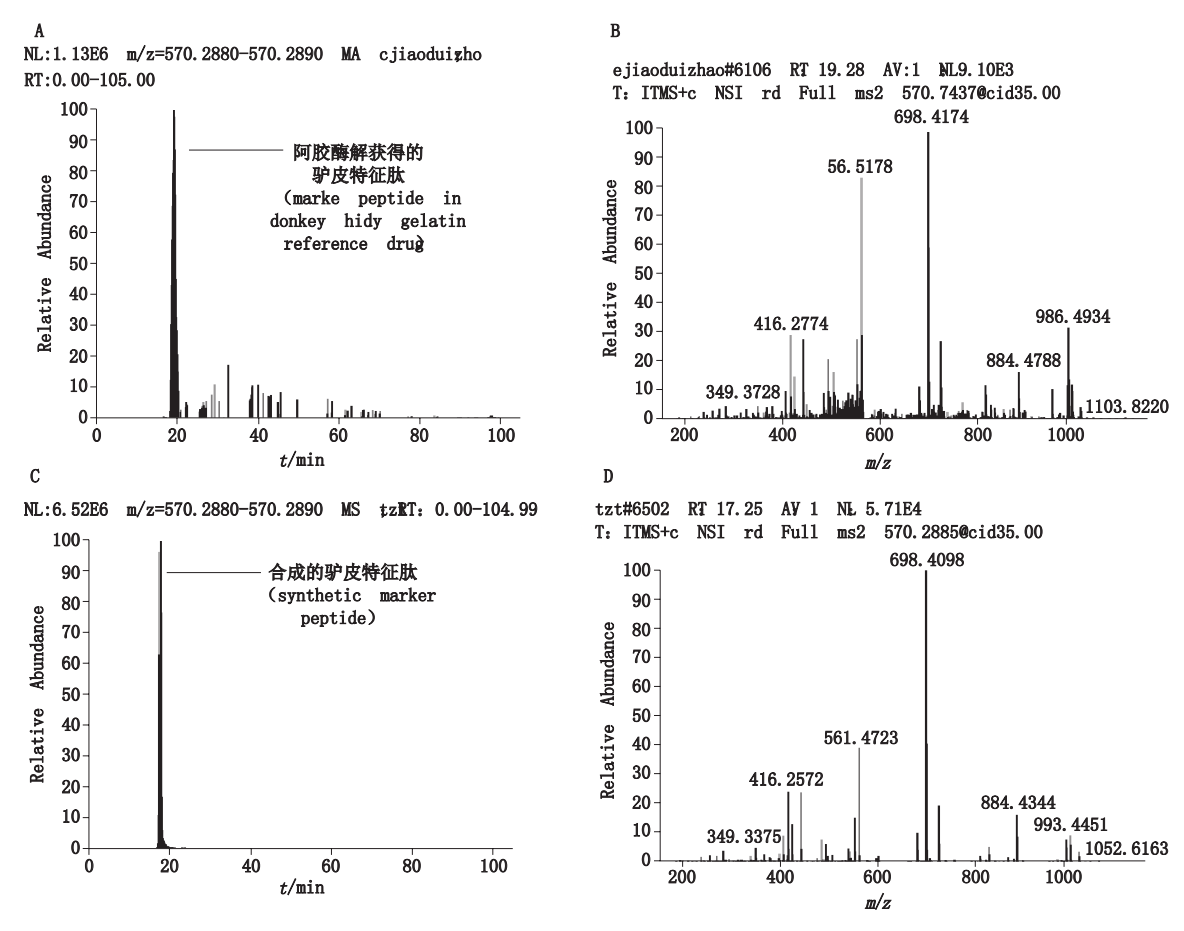
Tab. 3 Gradient elution program of UPLC

时间(time)/min -	流动相( mobile phase )	
HJ FJ ( time ) / min	A/%	B/%
0	96	4
3	96	4
8	92	8
10	50	50
12	50	50
12.1	96	4
15	96	4



采用 Waters Quattro Premier XE 三重四极杆质谱系统,电喷雾离子化(ESI),正离子模式下,进行多反应监测,选择 m/z 380.71  $\rightarrow$  374.82, 493.56 作为检测离子对。
2.5 驴皮特征肽的验证 采用供试品溶液制备方法制备阿胶对照药材溶液,注入 EASY-nLC 1000 纳升液相色谱 -Fusion-Orbitrap 高分辨质谱联用仪进行分析,以全部驴胶原蛋白序列为数据库,将阿胶酶解后的多肽质谱信息用 SEQUEST 软件进行数据库搜

索,特征肽的提取离子流色谱(EIC)、二级质谱如图 2-A、B 所示,证实了驴皮特征肽 GPTGEPGKPGDK 的存在。为了进一步确证驴皮特征肽,委托上海强耀公司合成了特征肽,并对合成的多肽进行高分辨质谱检测,其选择离子色谱峰与样品中的待检色谱峰的保留时间一致(图 2-C、D);二级质谱图也一致。驴皮特征肽二级质谱碎片信息归属与理论一致,见图 3,进一步验证的驴皮特征肽。



A、B. 阿胶对照药材中的驴皮特征肽 ( marker peptide in donkey hide gelatin reference drug ) C、D. 合成的驴皮特征肽 ( synthetic marker peptide )

#### 图 2 驴皮特征肽提取离子流色谱和二级质谱图

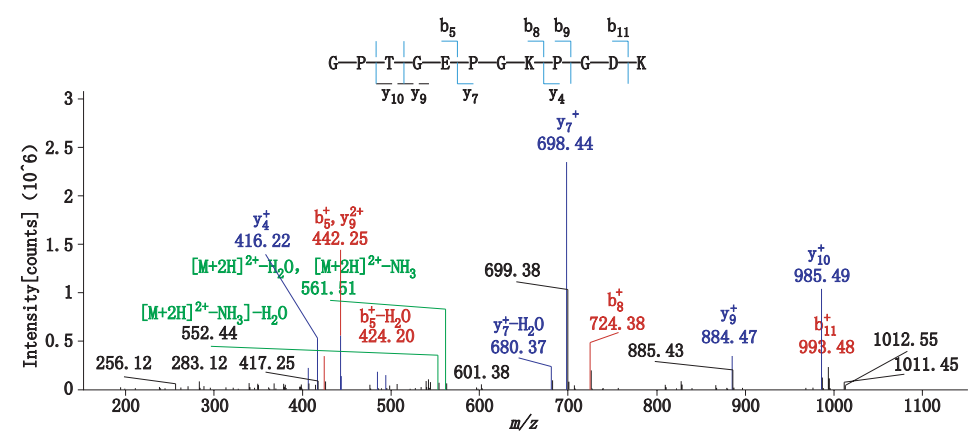
Fig. 2 The extracted ion chromatogram and MS/MS spectra of marker peptide

2.6 专属性试验 按供试品制备方法制得阿胶对照药材以及自制阿胶(6份)、猪皮胶(3份)、马皮胶(3份)、牛皮胶(3份)、羊皮胶(3份)的供试品溶液,注入超高效液相色谱和三重四极杆质谱仪进行平行测定,检测结果如图 4 所示,阿胶中驴皮特征肽 GPTGEPGKPGDK 的特征峰 m/z 380.71  $\rightarrow$  374.82,493.56 的保留时间在 2.21 min,猪皮胶、马皮胶、牛

皮胶、羊皮胶在 2.21 min 无驴皮特征肽的特征峰 m/z 380.71  $\rightarrow$  374.82, 493.56, 说明该方法的专属性强。

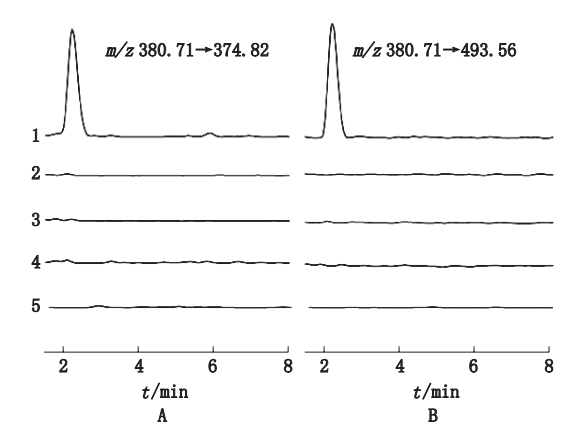
2.7 稳定性试验 取阿胶对照药材溶液,以m/z 380.71  $\rightarrow$  374.82,493.56 作为驴皮特征肽的特征离子进行检测,分别于 0、2、4、8、16、24 h 测定,保留时间为 2.21 min, RSD(n=6) 为 5.0%。结果表明阿胶对照药材溶液在 24 h 内基本稳定。





#### 图 3 驴皮特征肽离子碎片信息归属

Fig. 3 Identification of marker peptide fragment ion



1. 阿胶对照药材(donkey hide gelatin reference drug) 2. 马皮胶(horse hide gelatin) 3. 牛皮胶(cattle hide gelatin) 4. 猪皮胶(pig hide gelatin) 5. 羊皮胶(sheep hide gelatin)

 $A.m/z 380.71 \rightarrow 374.82 \ B.m/z 380.71 \rightarrow 493.56$ 

### 图 4 驴皮特征肽的 MRM 色谱图

## Fig. 4 MRM chromatograms of marker peptide

- **2.8** 重复性试验 取阿胶对照药材平行制备 6 份溶液,以 m/z 380.71  $\rightarrow$  374.82、493.56 作为检测离子对进行测定,保留时间为 2.21 min, RSD(n=6)为 5.9%,结果表明 6 份样品的测定具有较好的重复性。
- **2.9** 样品的测定 以所建立的方法对 10 份阿胶样品进行了检测,结果如图 5 所示,均检出了驴皮特征肽的特征峰。

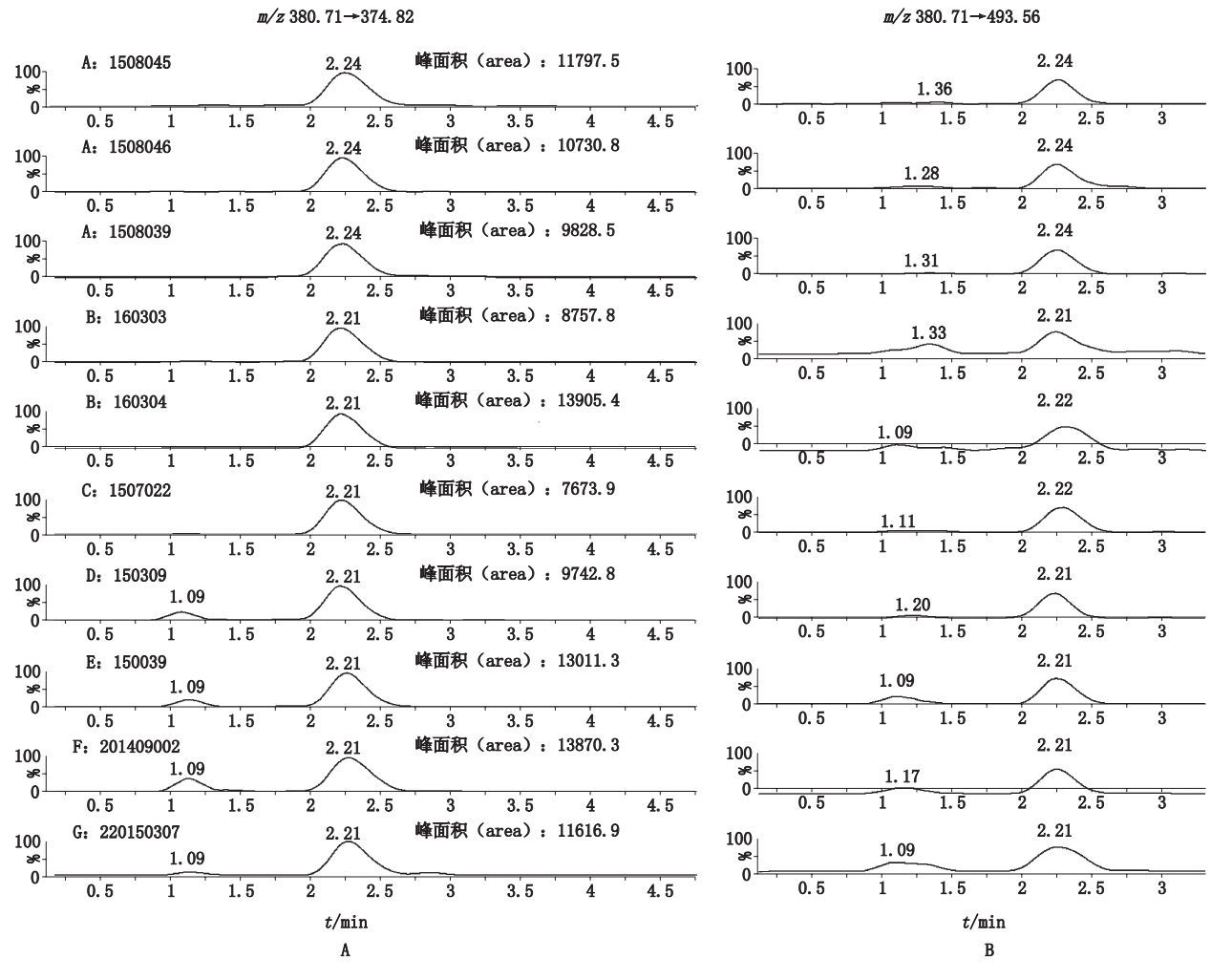
# 3 讨论

3.1 阿胶特征肽监测离子对的选择 取按照供试品 溶液制备方法制备的阿胶对照药材溶液,选择母离子 为两电荷的离子对 m/z 570.31 → 698.37,416.24 和母离子为三电荷的离子对 m/z 380.71 → 374.82,493.56 进行监测分析,结果见图 6,三电荷的驴皮特征肽离子,因此选子的响应明显优于两电荷的驴皮特征肽离子,因此选

择 m/z 380.71 → 374.82, 493.56 作为驴皮特征肽的监测离子对。

- 3.2 色谱条件 参照阿胶中牛皮源质量补充检验方法中的色谱条件<sup>[20]</sup>,采用 0.1% 甲酸溶液(A)-乙腈(B)作为流动相,按该补充检验方法中的洗脱条件驴皮特征肽的保留时间约为 1.5 min,保留时间短,进一步优化梯度洗脱条件,最终确认本实验所用的梯度洗脱条件,驴皮特征肽的保留时间为 2.21 min,分离效果良好。
- **3.3** 质谱条件 以多反应检测(MRM)方式对质谱 参数进行优化,最终确定,毛细管电压为 3.5 kV,离子源温度为 150 ℃,除溶剂温度为 450 ℃,除溶剂气体为 850 L·h<sup>-1</sup>。同时,对锥孔电压和碰撞能量等进行优化,最终确定锥孔电压为 18 V,碰撞能量为 15 V。
- 3.4 酶解条件的考察 酶解方法的构建参照中国药典第四部<sup>[21]</sup>"肽图检查法一第一法胰蛋白酶裂解 反相高效液相色谱法"。为保证胶类药材中的驴皮胶原蛋白成分被完全酶解,驴皮特征肽被充分释放,取阿胶对照药材按供试品溶液制备方法操作,分别在37 ℃恒温酶解 0.4.8.16.24 h 后进样,以选择离子m/z 380.71  $\rightarrow$  374.82 的峰面积考察样品酶解的情况,结果如图 7,在 16 h 后选择离子m/z 380.71  $\rightarrow$  374.82 的峰面积基本无变化,说明样品在 16 h 内已经被充分酶解。
- 3.5 小结 阿胶是驴皮高温熬制的产物,驴皮中的主要蛋白是胶原蛋白,阿胶的主要成分是胶原蛋白不完全水解后的多肽。本文首先将驴、马、猪、牛、羊的胶原蛋白序列进行比对,通过模拟胰蛋白酶酶切获得驴相对于其他物种的理论特征肽序列,再通过液相色





 $A.m/z 380.71 \rightarrow 374.82 \ B.m/z 380.71 \rightarrow 493.56$ 

#### 图 5 样品中驴皮特征肽的 MRM 色谱图

Fig. 5 MRM chromatograms of marker peptide in sample

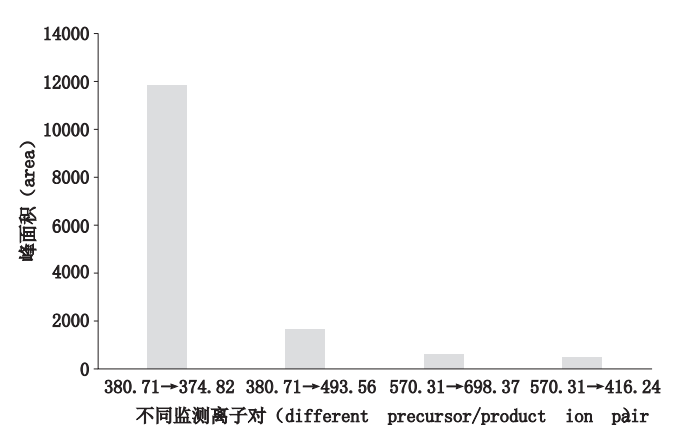


图 6 监测离子的选择对驴皮特征肽检测的影响

Fig. 6 Effect of different precursor/product ion pair on detection of marker peptide

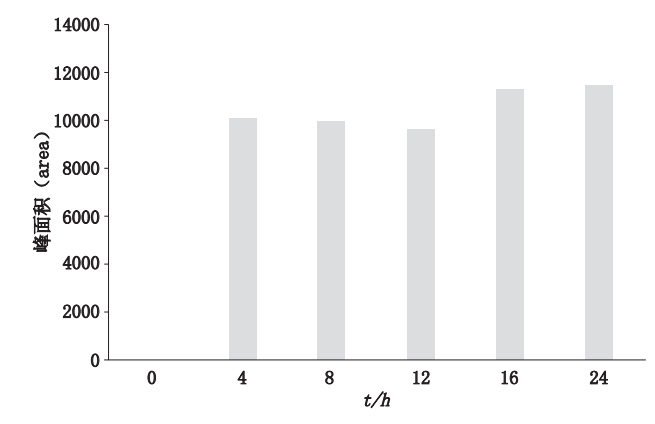


图 7 酶解时间对特征肽检测的影响

Fig. 7 Effect of enzymatic hydrolysis time on marker peptide detection



谱-高分辨质谱联用的蛋白质组技术确证特征肽,该研究思路有较强的针对性和理论依据,可用于发现其他食品药品物种源性鉴定用特征肽。本文利用发现的驴皮特征肽建立阿胶中驴皮源成分的检测方法,该方法的专属性强,驴皮特征肽在室温下 24 h 内稳定,可用于阿胶中驴皮源成分的鉴别。

# 参考文献

- [1] 中国药典 2015 版. 一部[S]. 2015: 189 ChP 2015. Vol I[S]. 2015: 189
- [2] 尤金花,田守生,郭尚伟,等. 阿胶及其疗效功能的研究进展 [J]. 明胶科学与技术,2009,29(4):169
  YOU JH, TIAN SS, GUO SW, et al. Advances in study of Ejiao and its curative effects [J]. Sci Technol Gelatin, 2009, 29(4):169
- [3] 张少权. 阿胶原料的主要蛋白组成及其生理活性的研究[D]. 福建: 福州大学, 2005

  ZHANG SQ. A Study on Major Constituent Proteins of Raw Material of Ejiao and Their Bioactivities [D]. Fujian: Fuzhou University, 2005
- [4] 郑筱祥,杨勇,叶剑锋,等. 东阿阿胶的升白作用及机制研究 [J]. 中国现代应用药学, 2005, 22(2): 102 ZHENG XX, YANG Y, YE JF, et al. The mechanism of donkeyhide gelatin in increasing leukocyte [J]. Chin J Mod Appl Pharm, 2005, 22(2): 102
- [5] 黄世琼,张伟,彭娅. 驴皮的真伪鉴别[J]. 海峡药学, 2016, 28(4): 50 HUANG SQ, ZHANG W, PENG Y. Studies on identification of furs of Equus Asinus [J]. Strait Pharm J, 2016, 28(4): 50
- [6] 胡晶红,李佳,张永清. GC-MS 分析驴皮、牛皮、马皮的脂肪成分 [J]. 中成药, 2014, 36(12): 2648 HU JH, LI J, ZHANG YQ. Analysis of fat composition in the donkey skin, cattle skin, horse skin by GC-MS[J]. Chin Tradit Pat Med, 2014, 36(12): 2648
- [7] 胡军影,程显隆,肖新月,等. 阿胶的化学成分及质量评价方法研究进展[J]. 中国药事, 2007, 21(3): 193

  HU JY, CHENG XL, XIAO XY, et al. Review on chemical compositions and quality evaluation of gelatina nigra [J]. Chin Pharm Aff, 2007, 21(3): 193
- [8] KEIL B. Specificity of Proteolysis [M]. Berlin: Springer-Verlag, 1992
- [9] 崔琳,张贵锋,刘涛,等. 液相色谱质谱联用分析不同年龄鼠皮中 I 型 Ⅲ型胶原蛋白相对含量 [J]. 中国生物工程杂志, 2007, 27(4): 71 CUI L, ZHANG GF, LIU T, et al. High performance chromatography/mass spectrometric analysis of the collagen I / Ⅲ ratio in rat skin at different stages of growth [J]. Chin Biotech, 2007, 27(4): 71
- [10] 张贵锋,刘涛,王前,等. 高效液相色谱 / 质谱识别不同明胶降解产物中特征性多肽 [J]. 分析化学, 2008, 36(11): 1499

  ZHANG GF, LIU T, WANG Q, et al. Identification of specific peptides in digested gelatins by high performance liquid chromatography/mass spectrometry [J]. Chin J Anal Chem, 2008, 36(11): 1499

- [ 11 ] ZHANG GF, LIU T, WANG Q, et al. Mass spectrometric detection of marker peptides in tryptic digests of gelatin; a new method to differentiate between bovine and porcine gelatin food [ J ]. Food Hydrocoll, 2009, 3 (7); 2001
- [12] 王前, 张贵锋, 刘涛, 等. 基于串联质谱的鱼皮明胶鉴别研究 [J]. 中国生物工程杂志, 2009, 29(6): 101 WANG Q, ZHANG GF, LIU T, et al. Differentiation of fish gelatin from bovine/porcine gelatin by tandem mass spectrometry [J]. Chin Biotech, 2009, 29(6): 101
- [13] 程显隆,李文杰,魏峰,等. 动物胶类药材的鉴别方法研究进展 [J]. 亚太传统医药, 2011, 7(3): 167 CHENG XL, LI WJ, WEI F, et al. Advances in studies on identificated method of gelatins [J]. Asia Pac Tradit Med, 2011, 7(3): 167
- [14] 程显隆,李文杰,张小龙,等. UPLC-QTOF-MS 结合主成分分析 法用于龟甲胶、鹿角胶中添加牛皮源成分的检测研究[J]. 药物 分析杂志, 2012, 32(6): 931

  CHENG XL, LI WJ, ZHANG XL, et al. Identification of bovine-hide gelatin from glue of tortoise shell and deer-horn gelatin by UPLC-QTOF-MS and principal component analysis [J]. Chin J Pharm Anal, 2012, 32(6): 931
- [ 15 ] CHENG XL, WEI F, CHEN J, et al. Using the doubly charged selected ion coupled with MS/MS fragments monitoring (DCSI-MS/MS) mode for the identification of gelatin species [ J ]. J Anal Methods Chem, 2014, 2014; 49
- [ 16 ] CHENG XL, WEI F, XIAO XY, et al. Identification of five gelatins by ultra performance liquid chromatography/time-of-flight mass spectrometry ( UPLC/Q-TOF-MS ) using principal component analysis [ J ]. J Pharm Biomed Anal, 2012, 62 ( 2 ): 191
- [17] 程显隆. 胶类药材质量控制关键技术研究[D]. 北京: 北京中医药大学, 2012
  CHENG XL. Studies on the Technique of Quality Control of Gelatin Drug[D]. Beijing: Beijing University of Chinese Medicine, 2012
- [18] 程显隆,陈佳,李明华. 特征肽段检测技术用于胶类药材专属性鉴别方法研究[J]. 中国药学杂志, 2015, 50(2): 104
  CHENG XL, CHEN J, LI MH, et al. Identification study of glue medicines [J]. Chin Pharm J, 2015, 50(2): 104
- [19] 龙国友,李明华,刘薇,等. 超高效液相色谱 三重四极杆质谱法检测阿胶补血颗粒中的阿胶[J]. 药物分析杂志, 2016, 36(5): 826 LONG GY, LI MH, LIU W, et al. RRLC/QQQ-MS analysis of donkey-hide gelatin in Ejiao Buxue granules [J]. Chin J Pharm Anal, 2016, 36(5): 826
- [20] 国家食品药品监督管理局药品检验补充检验方法和检验项目批准件. 编号 2012012[S]. 2012

  State Food and Drug Administration Inspection and Additional Testing
  Methods and Project Approval Documents. No. 2012012[S]. 2012
- [21] 中国药典 2015 年版. 四部[S]. 2015: 189 ChP 2015. Vol IV[S]. 2015: 189

(本文于 2016年 12月 22日收到)